

## **Metagenomic Analysis of the Lung Microbiome in Chemically Injured and Healthy Individuals**

**Mahyar Sharif Bagheri<sup>1</sup>, Ali Qazvini<sup>2</sup>, Mahmood Tavallaei<sup>1</sup>, Javad Gharechahi<sup>1\*</sup>**

<sup>1</sup> Human Genetics Research Center, Baqiyatallah University of Medical Sciences, Tehran, Iran

<sup>2</sup> Chemical Injuries Research Center, Baqiyatallah University of Medical sciences, Tehran, Iran

**Received:** 3 March 2019 **Accepted:** 14 December 2019

---

### **Abstract**

**Background and Aim:** The role of the lung microbiome in respiratory complications associated with chemicals such as sulfur mustard or chlorine gas has yet to be determined. The aim of this study was to compare the structure and composition of the lung microbiome in chemically injured and healthy individuals in order to understand the relation between the population of the lung microbiota and respiratory complications caused by exposure to these chemicals.

**Methods:** To study lung microbiota, the bronchial alveolar lavage (BAL) fluids were collected from 17 chemically injured and 15 healthy cases during the bronchoscopy procedure. The diversity of lung bacteria present in BAL samples was explored using 16S rRNA gene sequencing.

**Results:** The lung microbiome dominated by members of phyla Firmicutes, Bacteroidetes, Proteobacteria, Actinobacteria, Fusobacteria and Synergistetes which collectively accounted for > 95% of sequences. At the genus level, members of the genera Prevotella, Leptotrichia, Atopobium, Aggregatibacter, Catonella, and Oribacterium showed more than 2-fold increase in abundance in the lung microbiome of chemically injured patients. Comparing lung bacterial community at the species level, however, revealed an increased prevalence of members of *Rothia mucilaginosa* (3-fold), *Prevotella melaninogenica* (2.7-fold), *Prevotella pallens* (3.5-fold), *Actinobacillus parahaemolyticus* (2.5-fold), *Veillonella parvula* (2.5-fold), and *Neisseria subflava* (1.5-fold) in these patients.

**Conclusion:** An increased abundance of bacterial species known to associate with airway inflammation suggested their implications in respiratory failure in chemically injured patients. Monitoring and maintaining the homeostasis of the microbial population colonizing lung of chemically injured patients will pave the way to develop a more targeted treatment for these patients.

---

**Keywords:** Chemically Injured Veterans, Lung Microbiome, Bronchoscopy, 16S rRNA Sequencing, Metagenomics

\*Corresponding author: **Javad Gharechahi**, Email: [jgharechahi@gmail.com](mailto:jgharechahi@gmail.com)

## آنالیز متازنومیک میکروبیوم ریه در مصدومین شیمیایی و افراد سالم

\*مهیار شریف باقری<sup>۱</sup>، علی قزوینی<sup>۲</sup>، محمود تولایی<sup>۱</sup>، جواد قره چاهی<sup>۱</sup>

<sup>۱</sup> مرکز تحقیقات زیستی انسانی، دانشگاه علوم پزشکی بقیه الله(عج)، تهران، ایران

<sup>۲</sup> مرکز تحقیقات آسیب‌های شیمیایی، دانشگاه علوم پزشکی بقیه الله(عج)، تهران، ایران

### چکیده

**زمینه و هدف:** نقش میکروبیوم ریه در مشکلات ریوی ناشی از مواجهه با ترکیبات شیمیایی همچون گاز خردل یا کلر هنوز مشخص نشده است. هدف این مطالعه تعیین ساختار و ترکیب میکروبیوم ریه در مصدومین شیمیایی و مقایسه آن با افراد سالم به منظور درک ارتباط بین جمعیت میکروب‌های کلونیزه شده در ریه و مشکلات ریوی ناشی از مواجهه با این مواد شیمیایی بود.

**روش‌ها:** برای تعیین میکروبیوم ریه نمونه‌های برونکوآلتوئلار لاواز (BAL) ۱۷ مصدوم شیمیایی و ۱۵ فرد سالم در حین عمل برونکوسکوپی جمع آوری شد. تنوع باکتری‌های موجود در نمونه‌های BAL جمع آوری شده به وسیله توالی یابی ژن کد کننده 16S rRNA بررسی شد.

**یافته‌ها:** اعضای شاخه‌های *Synergistetes* و *Fusobacteria* و *Actinobacteria* و *Proteobacteria* و *Bacteroidetes* و *Firmicutes* میکروبیوم غالب ریه را تشکیل می‌دهند که در مجموع بیش از ۹۵ درصد از کل توالي‌ها را به خود اختصاص می‌دهند. در سطح تاکسونومی جنس، اعضای جنس‌های *Oribacterium* و *Catonella* و *Aggregatibacter* و *Atopobium* و *Leptotrichia* و *Prevotella* در میکروبیوم ریه مصدومین شیمیایی افزایش فراوانی بیش از ۲ برابر نشان می‌دهند. اما مقایسه جمعیت باکتری‌های ساکن ریه در سطح گونه حکایت از افزایش فراوانی گونه‌های *Prevotella pallens* (۳/۵ برابر)، *Prevotella melaninogenica* (۲/۷ برابر)، *Rothia mucilaginosa* (۳ برابر)، *Veillonella parvula* (۲/۵ برابر) و *Neisseria subflava* (۱/۵ برابر) در این بیماران دارد.

**نتیجه‌گیری:** افزایش فراوانی گونه‌های باکتریایی که حضور آنها توانم با التهاب راه‌های هوایی می‌شود، نشان از نقش آنها در مشکلات ریوی مصدومین شیمیایی دارد. کنترل و حفظ تعادل جمعیت میکروبی کلونیزه شده در ریه مصدومین شیمیایی راه را برای درمان هدفمند این بیماران و کاهش نارسایی‌های ریوی آنها هموار خواهد ساخت.

**کلیدواژه‌ها:** مصدومین شیمیایی، میکروبیوم ریه، برونکوسکوپی، توالی‌یابی 16S rRNA، متازنومیکس.

## مقدمه

دستگاه تنفس تحتانی در بیماران مبتلا به انسداد مزمن ریوی و آسم در مقایسه با افراد سالم پرداختند (۵). متعاقباً، Charlson و همکاران، از طریق نمونه برداری با برونوکوسکوپی دوگانه و بررسی میکروبیوم دستگاه تنفسی فوقانی و تحتانی، دریافتند که دستگاه تنفسی تحتانی بار میکروبی کمتری نسبت به دستگاه تنفس فوقانی دارد (۶). مطالعات پیشین نشان داده‌اند که در بیماری‌های مانند انسداد مزمن ریوی (۷،۸)، فیبروز کیستی (۹)، آسم (۱۰)، فیبروز ریوی با علل ناشناخته (۱۱) و آرتربیت روماتویید همراه با حضور فاکتور روماتویید سیستمیک (۱۲)، میکروبیوم ریوی دچار تغییراتی می‌شود. بسیاری از مطالعات افزایش جمعیت باکتری‌های متعلق به ریه شاخه *Proteobacteria* که باسیل‌های گرم منفی موجود در ریه را نیز شامل می‌شوند در بیماری‌های مزمن مجاری هوایی گزارش داده‌اند در حالی که در شرایط طبیعی گونه‌های متعلق به شاخه *Bacteroidetes* جمعیت غالب میکروبیوم ریه را به خود اختصاص می‌دهند (۱۳). مصرف سیگار ممکن است از طریق افزایش جمعیت باکتری‌های جنس *Veillonella* موجب تغییر در میکروبیوم دستگاه تنفس فوقانی شود (۱۴). ارتباط بین *Prevotella* و *Veillonella* با تشديد التهاب در بیماران مبتلا به انسدادی ریوی مزمن نیز گزارش شده است (۱۴). شواهدی نیز وجود دارد که بروز *Haemophilus* و خامت در این بیماری با حضور گونه‌های *Pseudomonas aeruginosa* یا *influenza* در مطالعه‌ای که بر روی بیماران آسمی و COPD و افراد سالم عنوان کنترل صورت گرفت مشخص شد *Proteobacteria* های *Haemophilus* با بیماری زا مانند گونه‌های متعلق به جنس *Haemophilus* فراوانی بیشتری در نمونه‌های برونش افراد آسمی و COPD دیده شوند در حالی که گونه‌های متعلق به شاخه *Bacteroidetes* شامل گونه‌های متعلق به جنس *Prevotella* با فراوانی بیشتری در نمونه‌های کنترل دیده شدند (۵). در افراد مبتلا به سیستیک فیبروزیس عفونت و التهاب مزمن راه‌های هوایی سبب بیماری‌های پیشرونده ریوی و افزایش مرگ و میر ناشی از این بیماری می‌شود (۱۶). در افراد مبتلا به این بیماری عفونت با پاتوژن‌هایی مانند *Pseudomonas aeruginosa*, *Staphylococcus aureus* و *Burkholderia cepacia* به وفور دیده می‌شود (۱۷). Hang و همکاران (۱۸) اخیراً در مطالعه‌ای به بررسی میکروبیوم دستگاه تنفس فوقانی در پرستن نظامی که با گازهای شیمیایی مواجه شده بودند پرداختند. اگرچه این مطالعه نتوانست تغییرات خاصی در میکروبیوم گروه هدف شناسایی کند، اما بطور قطع بررسی میکروبیوم دستگاه تنفس فوقانی به تنهایی نمی‌تواند نتایجی قابل اتكایی مانند آنچه در مطالعه میکروبیوم دستگاه تنفس تحتانی مشاهده می‌کنیم ارایه دهد.

تاکنون مطالعه مشابهی بر روی میکروبیوم همزیست در دستگاه تنفس مصدومین شیمیایی صورت نگرفته است. هدف این مطالعه شناسایی میکروبیوم ریه در مصدومین شیمیایی و بررسی

مصدومیت شیمیایی در نتیجه مواجه با گازهای سمی که در جنگ به عنوان سلاح‌های نامتعارف کشتار جمعی مورد استفاده قرار می‌گیرند ایجاد می‌شود. استفاده از این نوع سلاح‌ها به شکل گاز خردل در طول جنگ تحملی ایران و عراق توسط رژیم بعث عراق باعث ایجاد مصدومیت‌های شیمیایی در هزاران نفر شده که هنوز با وجود گذشت سال‌ها از زمان مواجهه آنها با این عوامل همچنان از عوارض تنفسی و پوستی آن رنج می‌برند. مطالعات صورت گرفته تاکنون نتوانسته درمان قطعی و موثری برای مشکلات تنفسی و ریوی آنها فراهم کند. در این بیماران عفونت‌های مکرر ریوی یکی از مسائل جدی محسوب می‌شود که گاهًا به درمان‌های بر پایه آنتی‌بیوتیک‌های رایج نیز پاسخگو نیستند. سیستم ایمنی این افراد نیز بواسطه مواجهه با گاز شیمیایی خردل به شدت تضعیف شده و توانایی پاسخ مناسب به عفونت‌های ایجاد شده در دستگاه تنفسی را ندارد (۱). همین امر زمینه رشد و کلونیزه شدن میکروب‌های بیماری‌زا در دستگاه تنفس آنها را فراهم می‌کند و احتمال درگیری این افراد با عفونت‌های مزمن را افزایش می‌دهد. ناراحتی‌های تنفسی، عفونت‌های مکرر و بازگشت کننده، التهاب ریه‌ها، و به موازات آن رنج بیماری و بار مالی درمان از جمله مضلالاتی است که این گروه از بیماران درگیر آن هستند. بنابراین مطالعه میکروبیوم ریه و سایر بخش‌های دستگاه تنفسی این افراد و مقایسه آن با بیماری‌های دیگر که تظاهرات بالینی نسبتاً مشابهی دارند، مانند انسداد مزمن ریوی (COPD)، می‌تواند درک ما را از مکانیسم بیماری زایی گاز خردل افزایش دهد و زمینه را برای درمان نارسايی‌های ریوی آنها فراهم کند.

بر خلاف بیماران مبتلا به COPD، ریه مصدومین شیمیایی به ندرت دچار فیبروز می‌شود (۱). مصدومین شیمیایی به وفور از نارسايی‌های مرتبط با برونشیولیتیس رنج می‌برند (۲). بررسی‌های رادیولوژیکی دستگاه تنفس این بیماران حکایت از ضخیم شدن دیواره برونشیال‌ها، احتباس هوا و گرفتگی برونشیت‌ها دارد (۲). مطالعات زیادی برونشکتازی را به عنوان مشکل مزمن مصدومین شیمیایی معرفی کرده‌اند (۳،۴). به نظر می‌رسد عفونت‌های ثانویه مکرر یکی از عوامل اصلی شکل گیری برونشکتازی در این بیماران است (۲). با توجه به این شواهد به نظر می‌رسد میکروب‌هایی که در ریه این گروه از بیماران کلونیزه و ساکن می‌شوند در ایجاد عفونت‌های ثانویه، التهاب و پاتوژن‌زی بیماری و مشکلات ریوی این افراد نقش کلیدی ایفا می‌کنند. شناسایی تاکسونومیک و بررسی فراوانی میکروب‌هایی که در ریه این افراد کلونیزه می‌شوند، می‌تواند درک ما را از آسیب‌های ریوی ایجاد شده در این بیماران بیشتر کند. از سوی دیگر، با شناسایی کامل میکروبیوم ریه می‌توان به راهکارهایی برای درمان و کنترل بیماری و مشکلات ریوی در آنها دست یافت.

و همکاران اولین گروهی بودند که به بررسی میکروبیوم Hiltiy

برای استخراج DNA انتخاب شدند. نمونه‌های ذوب شده در لوله‌های فالکون به مدت ۲۰ دقیقه در ۱۰۰۰ دور در دقیقه جهت جداسازی سلول‌های میکروبی سانتریفیوژ شدند. سپس مایع رویی خارج شد و رسوپ میکروبی هر نمونه بصورت جداگانه جهت استخراج DNA طبق دستورالعمل کیت QIAamp DNA stool minikit برای استخراج از DNA از مدفعه برای تشخیص پاتوژن‌ها مورد استفاده قرار گرفت. مقدار ۲ میکرولیتر از DNA استخراج شده برای سنجش کیفیت DNA بر روی ژل آگارز ۸/۰ درصد ران شد. برای اندازه گیری غلظت DNA استخراج شده نیز از دستگاه نانودراب استفاده شد. در نهایت میکروتیوب‌های حاوی DNA استخراج شده در دمای ۲۰-۲۴ درجه سلسیوس تا زمان انجام مراحل PCR نگهداری شدند.

**تکثیر قطعه‌ای از ژن کدکننده 16S rRNA:** ژن 16S rRNA به واسطه حفظ شدگی بالا و به دلیل دارا بودن ۹ ناحیه متغیر، هدف مناسبی جهت بررسی‌های فیلوژنتیکی و تعیین قربات خویشاوندی میکروب‌ها می‌باشد. فرایند تکثیر و بارکد گذاری محصولات PCR نمونه‌های مختلف طی دو واکنش پیاپی PCR انجام گرفت. در PCR اولیه نمونه‌ها بوسیله پرایمیرهای ۳۴۱F و ۷۸۵R که امکان تکثیر نواحی متغیر ۳ و ۴ در حد فاصل نکلئوتیدهای ۳۴۱ تا ۷۸۵ ژن 16S rRNA را فراهم می‌کنند تکثیر شدند. جهت انجام PCR اولیه به میزان ۱۰ میکرولیتر از مخلوط مستر میکس، ۱۲ میکرولیتر آب دیونیزه، ۱ میکرولیتر پرایمیر فوروارد، ۱ میکرولیتر پرایمیر ریورس، و ۱ نانوگرم PCR به تیوب‌های PCR اضافه شد. حجم نهایی واکنش DNA ۲۵ میکرولیتر در نظر گرفته شد. همچنین برای نمونه کنترل منفی که جهت بررسی صحت کار و نبود آلاینده و عوامل مداخله گر در محیط واکنش استفاده می‌شود، به جای DNA الگو، ۱ میکرولیتر آب دیونیزه استفاده شد. واکنش PCR با یک مرحله واسرشت سازی (denaturation) در دمای ۹۵ درجه سانتیگراد برای ۵ دقیقه آغاز شد و شامل ۲۵ سیکل ۳۰ ثانیه واسرشت سازی در دمای ۹۵ درجه، ۳۰ ثانیه اتصال (annealing) در دمای ۵۵ درجه و ۳۰ ثانیه تکثیر (extension) در دمای ۷۲ درجه شد و با یک مرحله نهایی تکثیر در دمای ۷۲ درجه برای ۷ دقیقه خاتمه داده شد. در پایان جهت بررسی صحت عملکرد PCR مقدار یک میکرولیتر از PCR ثانویه از ۲ میکرولیتر محصول PCR اولیه به عنوان الگو استفاده شد. در این مرحله از پرایمیرهای اختصاصی شرکت Illumina استفاده شد. این پرایمیرها به گونه‌ای طراحی شده اند که در انتهای آنها توالی‌های بارکد و توالی‌های جایگاه اتصال پرایمیرهای توالی‌یابی (آدأپتور) اضافه شده است. با توجه به اینکه هر دو پرایمیر فوروارد و ریورس دارای بارکدهای ۸ نوکلئوتیدی هستند از ترکیب پرایمیرهای مختلف می‌توان برای بارکد گذاری نمونه‌های مختلف استفاده کرد. واکنش PCR ثانویه مشابه PCR است.

تغییرات احتمالی آن در مقایسه با افراد سالم فاقد مشکلات رویی می‌باشد.

## روش‌ها

در این مطالعه مورد-شاهدی (case-control)، تعداد ۳۲ نفر شامل ۱۵ فرد سالم فاقد مشکلات رویی (گروه کنترل) و ۱۷ مصدوم شیمیایی (گروه بیماران) شرکت کردند. مصدومین شیمیایی وارد شده در این مطالعه شامل پرسنل نظامی بودند که در جنگ سوریه در معرض گازهای شیمیایی (عموماً گاز کلر) قرار گرفته بودند. گروه کنترل در واقع بیمارانی بودند که به دلایلی غیر از مشکلات رویی (مانند سرطان) نیاز به عمل برونکوسکوپی داشتند اما از نظر تنفسی کاملاً سالم بودند. معیار ورود افراد به مطالعه شامل عدم سابقه بیماری عفونی، عدم سابقه بستری در بیمارستان در ۶ ماه گذشته، فقدان بیماری زمینه‌ای از جمله دیابت، بیماری خود ایمنی، آرژی، آسم، فیروز کیستی و یا سایر بیماری‌های مزمن، عدم مصرف داروهای ضد میکروبی و عدم استعمال دخانیات طی ۸ هفته گذشته بود. در مورد گروه بیماران علاوه بر موارد فوق وجود سابقه پزشکی مستند دال بر مصدومیت شیمیایی در جنگ نیز در نظر گرفته شد. شناسایی بیماران در طول مراجعه آنها جهت معاینات پزشکی به یکی از بیمارستان‌های نظامی تهران انجام گرفت. حجم نمونه مورد نیاز با در نظر گرفتن حدود اطمینان ۹۵٪ و پاور ۸٪ مطابق فرمول ارائه شده در <https://epitools.ausvet.io/casecontrolss> تعیین شد.

این مطالعه بر روی نمونه‌های برونکوآلتوئولار لاواژ (BAL) که از طریق عمل برونکوسکوپی اخذ شده بود صورت گرفت. عمل نمونه گیری از مناطق مختلف ریه به توجه به محل آسیب رویی انجام گرفت. بخشی از نمونه‌های گرفته شده به منظور بررسی کشت میکروبی و آزمون آنتی بیوگرام به بخش میکروب شناسی آزمایشگاه بالینی ارسال شد. عمل نمونه گیری در بازه زمانی یک ساله زمستان ۱۳۹۵-۱۳۹۶ انجام گرفت. تاریخچه پزشکی افراد، اطلاعات مربوط به آرمنون عملکرد تنفسی (اسپیرومتری) و اطلاعات دموگرافیک آنها در برگیرنده جنسیت، سن، سابقه مصرف سیگار، سابقه بیماری قبلی، سابقه مصرف دارو، و غیره از پرونده پزشکی آنها استخراج شد. نمونه‌های دریافتی در کمتر از یک ساعت در دمای ۸-۱۰ درجه سلسیوس و تا زمان انجام مرحله استخراج DNA نگهداری شدند. از ۴۰ نمونه BAL گرفته شده، ۸ نمونه در گزارش کشت میکروبی رشد غیر معمول باکتری نشان دادند و بنابراین از مطالعه خارج شدند. اطلاعات دموگرافی و شاخص‌های پزشکی افراد مورد مطالعه در جدول ۱-۱ آورده شده است.

**استخراج DNA:** برای استخراج DNA نمونه‌ها از فریزر خارج شده و در دمای ۳۷ درجه سلسیوس ذوب شدند. از آنجا که انجام پروسه استخراج DNA با توجه به امکانات و شرایط موجود در یک روز امکان‌پذیر نبود لذا نمونه‌ها به صورت گروه‌های چندتایی

نمونه با کمترین تعداد توالی می‌باشد نمونه برداری شدند. برای بررسی تنوع درون نمونه‌های شاخص‌های *Observed\_species*, *Chao1* و *Shannon* و *Goods\_coverage* بوسیله دستور *alpha\_diversity.py* نرم افزاری QIIME محاسبه شدند. تنوع بین نمونه‌ای نیز برای شاخص‌های بتای *weighted* و *unweighted Unifrac distance* بوسیله نرم افزار تحت وب [www.microbiomeanalyst.ca](http://www.microbiomeanalyst.ca) محاسبه شد. نتایج بدست آمده بوسیله پلات‌های *principal coordinate analysis (PCoA)* نمایش داده شدند.

**آزمون‌های آماری:** برای مقایسه فراوانی تاکساهای دیده شده از آزمون آماری t-test استفاده شد. پکیج نرم افزاری QIIME از طریق دستور *group\_significance.py* امکان شناسایی تاکساهای با فراوانی نسبی متفاوت در گروه کنترل نسبت به گروه مصدومین شیمیایی در سطوح مختلف تاکسونومی (شاخه، خانواده و جنس) را فراهم کرد. برای مقایسه شاخص‌های تنوع آلفا نیز از آزمون آماری t-test استفاده شد. برای مقایسه شاخص‌های تنوع بتا از آزمون آماری ANOSIM مربوط به پکیج نرم افزاری *vegan* در نرم افزاری آماری R استفاده شد.

**ملاحظات اخلاقی:** مطالعه حاضر توسط کمیته اخلاق پژوهشی دانشگاه علوم پزشکی بقیه الله با کد IR.BMSU.REC.1395.356 تایید شده است. با توجه به اینکه عمل برونکوسکوپی یک عمل نیمه تهاجمی محسوب می‌شود و نمی‌توان به راحتی از هر بیماری نمونه گیری کرد، قبل از عمل برونکوسکوپی بیماران با امضای رضایت‌نامه کتبی موافقت خود را برای ورود به این مطالعه اعلام کردند.

## نتایج

**اطلاعات دموگرافی بیماران و افراد کنترل:** از مجموع ۳۲ فرد شرکت کننده در این مطالعه ۲۹ نفر مرد و ۳ نفر زن بودند. میانگین سنی در بین تمام بیماران ۴۹ سال بود که در این بین، میانگین سنی گروه نرمال ۶۲ و گروه مصدومین شیمیایی ۳۷ سال بود ( $p < 0.01$ ). با توجه به اینکه افراد غیر مصدوم (گروه کنترل) از بین بیماران سلطانی که غالباً برای بررسی متاستاز در ریه تحت عمل برونکوسکوپی قرار می‌گرفتند انتخاب شدند میانگین سنی آنها در مقایسه با گروه مصدومین شیمیایی که غالباً جوانان پرستن نظامی بودند اختلاف سنی زیادی نشان می‌دهند. اطلاعات دموگرافیک افراد حاضر در این مطالعه به تفصیل در جدول ۱-آورده شده است.

برای بررسی وضعیت تنفسی بیماران شاخص‌های اسپیرومتری شامل  $FEV_1$  و  $FEV_1/FVC$  در هر دو گروه مصدومین شیمیایی و نرمال اندازه گیری شد.

اول انجام گرفت با این تفاوت که تنها تعداد سیکل‌های تکثیر به ۱۵ کاهش داده شد. به منظور تایید واکنش PCR میزان یک میکروولیتر از محصول PCR ثانویه بر روی ژل آگارز ۲ درصد ران PCR شد. وجود یک قطعه ۵۰۰ جفت بازی تایید کننده واکنش PCR بود. در نهایت ۷ میکروولیتر از محصول PCR ثانویه بر روی ژل آگارز ران شد و ژل در محل قرار گرفتن قطعه DNA برش داده شده و DNA موجود در ژل با استفاده از کیت استخراج از ژل (GeneAll) تخلیص شد.

**توالی یابی محصولات PCR:** قبل از انجام توالی یابی نمونه‌های بارکد شده به روش فلوریمتری کمیت سنجی شده و سپس به میزان مساوی با هم مخلوط شده و برای تهیه کتابخانه مورد نیاز سیستم توالی یابی Illumina MiSeq مورد استفاده قرار گرفتند. توالی یابی توسط شرکت ماکروژن (سئول-کره جنوبی) انجام گرفت. نمونه‌ها به صورت paired-end از هر انتهایه به اندازه ۳۰۰ جفت باز تعیین توالی شدند. پس از حذف توالی‌های با کیفیت خواشش پایین توالی‌های باقیمانده به صورت فایل‌های با پسوند FASTQ ذخیره شده و برای انجام آنالیزهای بیوانفورماتیک مورد استفاده قرار گرفتند.

**آنالیز بیوانفورماتیک توالی‌های بدست آمده:** با توجه به اینکه توالی‌های بدست آمده به صورت paired-end بودند لازم است قبل از استفاده از آنها برای آنالیزهای فیلوجنتیکی این توالی‌ها را اسمبل کرده و به یک توالی واحد تبدیل کنیم. برای این کار از ابزار Flash استفاده شد (۱۹).

توالی‌های اسمبل شده سپس به وسیله دستور *split\_libraries\_fastq.py* که یکی از دستورات مربوط به پکیج demultiplexing نرم افزاری QIIME می‌باشد (۲۰) برای ۱۶S rRNA و *VSEARCH* حذف توالی‌های نامناسب پردازش شدند. این دستور توالی پرایمرهای استفاده شده در تکثیر اولیه و نیز توالی‌های بارکدها و آداتورهای مورد استفاده در هنگام توالی یابی را از انتهای توالی‌ها حذف می‌کند. با توجه به حذف بارکدها در این مرحله به ابتدای نام هر توالی نام نمونه منشا آن اضافه می‌شود تا امکان شناسایی آن فراهم شود. در گام بعدی توالی‌های کامریک با استفاده از نرم افزار RDP release (۱۶S rRNA و پایگاه اطلاعاتی VSEARCH 11.5) شناسایی و حذف شدند (۲۱). توالی‌های باقیمانده سپس برای شناسایی Operational taxonomic units (OTUs) در سطح شbahat توالی ۹۷٪ کلاستر شدند. جزیيات نحوه شناسایی OTU ها در مقاله قبلی آورده شده است (۲۲). با توجه به اینکه تعدادی زیادی از OTU ها به صورت منفرد در نمونه‌ها دیده می‌شوند برای حذف این نوع از OTU ها تمام OTU هایی که فراوانی کمتر از ۰/۰۰۱ درصد داشتند حذف شدند. برای اندازه گیری شاخص‌های تنوع آلفا و بتا لازم است نمونه‌ها از نظر میزان عمق خواشش توالی‌ها یکسان باشند. برای این منظور تمام نمونه‌ها به طور تصادفی در عمق خواشش ۱۱۸۹۰ که معادل عمق خواش

جدول-۱. اطلاعات دموگرافی مصدومین شیمیایی (بیماران) و افراد سالم (غیر بیمار) وارد شده در مطالعه

p-value	گروه مصدومین شیمیایی (C)	گروه کنترل (N)	ویژگی
-	۱۷	۱۵	تعداد شرکت کنندگان
-	۱۷	۱۲	جنسیت مرد
-	۰	۳	زن
-	۲	۴	سابقه مصرف سیگار
-	۱۵	۱۱	غیر سیگاری
-	-	-	صرف آنتی بیوتیک در ۸ هفته گذشته
P < 0.01	۳۷ ± ۱۰	۶۲ ± ۷	میانگین سن ± انحراف معیار
P < 0.05	۷۸ ± ۸	۸۶ ± ۱۱	میانگین FEV1 ± انحراف معیار
P > 0.05	۹۵ ± ۱۰	۹۹ ± ۸	میانگین FEV1/FVC ± انحراف معیار

تنوع زیستی و برآورد فراوانی نسبی تاکساهای در نمونه‌های بدست آمده از مصدومین شیمیایی و افراد سالم مورد استفاده قرار گرفت. جدول-۲ آنالیز تنوع درون نمونه‌ای (تنوع آلفا) میکروبوم ریه مصدومین شیمیایی (C) و افراد سالم (N) را نشان می‌دهد. تنوع آلفا با استفاده از شاخص‌های تنوع *Chao1*, *Observed species*, *Simpson*, *Goods\_coverage* و *Shannon* است. برای بررسی آماری داده‌ها بین گروه مصدومین و گروه کنترل از آزمون آماری t-test استفاده شد.

**نتایج حاصل از شاخص‌های تنوع آلفا و بتا و منحنی‌های rarefaction** شاخص تنوع آلفا (تنوع درون نمونه‌ای): شاخص‌های تنوع آلفا برای بررسی تنوع موجودات زنده در یک نمونه یا یک محیط اکولوژیکی خاص استفاده می‌شوند. این شاخص‌ها نشان می‌دهند که آیا بین تعداد تاکساهای موجود در نمونه‌های مختلف و نیز پراکندگی آنها ارتباط معنی‌داری وجود دارد یا خیر. نتایج شاخص‌های تنوع آلفا برای نمونه‌های مصدومین شیمیایی و افراد گروه کنترل در جدول-۲ آورده شده است. شاخص *species* تنوع *Chao1* که برآورده از میزان غنای گونه‌ای (*richness*) است به طور معنی‌داری در مصدومین شیمیایی در مقایسه افراد نرمال افزایش نشان می‌دهد ( $p = 0.018$ ). میانگین این شاخص در افراد مصدوم شیمیایی ۱۲۳۴ است (t-test). قبل از اینکه بتوان این توالی‌ها را برای شناسایی واحدهای تاکسونومی عملیاتی (OTUs) به کار گرفت لازم است توالی‌های با کیفیت پایین (میانگین کیفیت کمتر از ۲۰) و توالی‌های خیلی کوتاه (کمتر از ۲۰۰) و یا خیلی بلند (بیشتر از ۱۰۰۰)، توالی‌های دارای نوکلوتید ناشناخته (N) و توالی‌های با هموپلیمرهای با طول بیشتر از ۶ نوکلوتید حذف شوند و همچنین توالی بارکدها، آداتپورهای اضافه شده در حین توالی پایی و نیز توالی پرایمرهای استفاده شده در PCR از انتهای امپلیکون *16S rRNA* حذف شوند. همه این اصلاحات بوسیله دستور *QIIME split\_libraries\_fastq.py* انجام گرفت که منجر به حذف ۱۵۲۶۱ توالی نامطلوب شد. بررسی توالی‌های باقیمانده برای شناسایی و حذف توالی‌های کایمیریک منجر به شناسایی ۳۸۹۵۲۵ توالی کایمیریک شد. پس از حذف توالی‌های کایمیریک توالی‌های باقیمانده برای شناسایی OTUs در سطح شباهت توالی‌های باقیمانده برای شناسایی تاکسونومی باشد که به شناسایی ۵۷۷۸۷ واحد OTU های با فراوانی کمتر از ۰/۰۱ درصد از جدول شناخته شدند. در مرحله بعدی برای همگن سازی عمق خواشش نمونه‌ها، همه نمونه‌ها در عمق خواش ۱۱۸۹۰ که معادل عمق خواش نمونه با کمترین تعداد توالی است (N14) نمونه برداری شدند. در نهایت ۳۴۶۱ واحد تاکسونومی (OTUs) برای آنالیزهای

میانگین شاخص *FEV1* در گروه مصدومین شیمیایی بصورت محسوسی در مقایسه با گروه نرمال کاهش نشان می‌داد (۷۸ در برابر ۸۶،  $p < 0.05$ ) که این مسئله در خصوص شاخص *FEV1/FVC* نیز صدق می‌کرد (۹۵ در برابر ۹۹) اما تفاوت دیده شده در از نظر آماری معنی دار نیست ( $p > 0.05$ ).

**نتایج توالی یابی:** تعیین توالی ۳۲ نمونه محصولات PCR حاصل از تکثیر ژن *16S rRNA* در دو گروه مصدومین شیمیایی (paired end) و افراد سالم منجر به تولید ۱۸۵۰۵۸۰ جفت توالی با میانگین طولی ۳۰۰ جفت باز شد. اسمبل توالی‌های جفتی (فوروارد و ریورس) با استفاده از نرم افزار flash امکان بازیابی ۱۶۷۵۰۲ توالی امپلیکون با میانگین طولی ۴۵۵ جفت باز را فراهم کرد. به طور متوسط برای هر نمونه ۵۲۱۰۰ توالی *16S rRNA* ایجاد شد. قبل از اینکه بتوان این توالی‌ها را برای شناسایی واحدهای تاکسونومی عملیاتی (OTUs) به کار گرفت لازم است توالی‌های با کیفیت پایین (میانگین کیفیت کمتر از ۲۰) و توالی‌های خیلی کوتاه (کمتر از ۲۰۰) و یا خیلی بلند (بیشتر از ۱۰۰۰)، توالی‌های دارای نوکلوتید ناشناخته (N) و توالی‌های با هموپلیمرهای با طول بیشتر از ۶ نوکلوتید حذف شوند و همچنین توالی بارکدها، آداتپورهای اضافه شده در حین توالی پایی و نیز توالی پرایمرهای استفاده شده در PCR از انتهای امپلیکون *16S rRNA* حذف شوند. همه این اصلاحات بوسیله دستور *QIIME split\_libraries\_fastq.py* انجام گرفت که منجر به حذف ۱۵۲۶۱ توالی نامطلوب شد. بررسی توالی‌های باقیمانده برای شناسایی و حذف توالی‌های کایمیریک منجر به شناسایی ۳۸۹۵۲۵ توالی کایمیریک شد. پس از حذف توالی‌های کایمیریک توالی‌های باقیمانده برای شناسایی OTUs در سطح شباهت توالی ۹۷ درصد کلاستر شدند که به شناسایی ۵۷۷۸۷ واحد تاکسونومی انجامید. برای حذف واحدهای تاکسونومی با فراوانی OTU های با فراوانی کمتر از ۰/۰۱ درصد از جدول حذف شدند. در مرحله بعدی برای همگن سازی عمق خواشش نمونه‌ها، همه نمونه‌ها در عمق خواش ۱۱۸۹۰ که معادل عمق خواش نمونه با کمترین تعداد توالی است (N14) نمونه برداری شدند. در نهایت ۳۴۶۱ واحد تاکسونومی (OTUs) برای آنالیزهای

جدول-۲. آنالیز تنوع درون نمونه‌ای (تنوع آلفا) میکروبیوم ریه مصدومین شیمیایی (C) و افراد سالم (N)

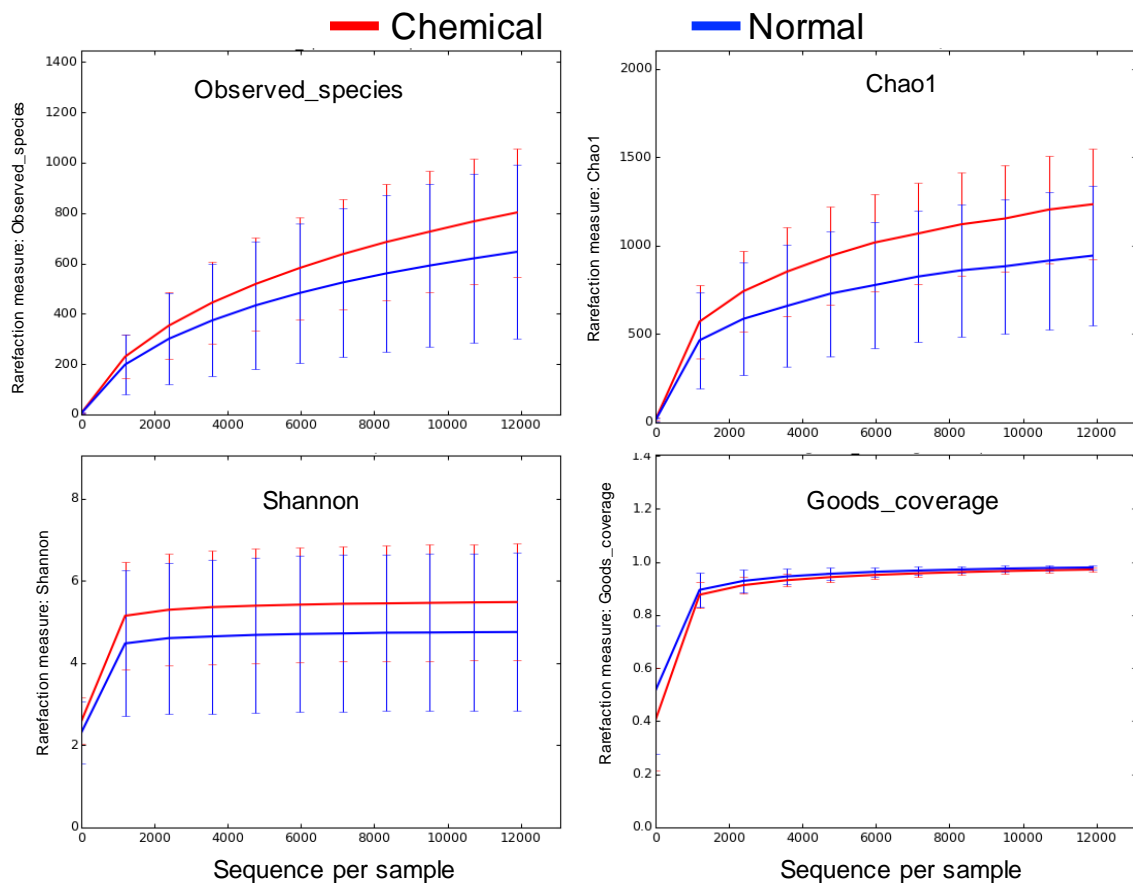
Group	Sample ID	Chao1	Observed_species	Shannon	Simpson	Goods_coverage
Chemical cases	CAP07	1299	1162	7.73	0.96	0.98
	CAS05	1260	724	5.63	0.93	0.97
	CAT06	1246	725	5.33	0.91	0.97
	CEB01	847	538	3.19	0.56	0.98
	CGH02	1209	734	5.09	0.86	0.97
	CGP13	1264	675	5.30	0.93	0.97
	CHJ15	641	254	2.20	0.45	0.99
	CJF12	1293	796	5.34	0.92	0.97
	CKR14	981	577	5.57	0.95	0.98
	CMV10	1591	1211	7.58	0.98	0.96
	CPS11	1189	733	5.49	0.92	0.97
	CRA09	1344	977	6.86	0.96	0.97
	CSD16	864	647	3.55	0.65	0.98
	CSV04	1278	819	5.62	0.92	0.97
	CTR03	1892	1298	7.17	0.97	0.95
	CVZ17	1445	840	5.91	0.95	0.97
	CYA08	1350	1009	5.89	0.92	0.97
	NAM13	1311	1011	6.12	0.90	0.97
	NAR02	491	194	2.60	0.69	0.99
Normal cases	NBD04	817	625	5.16	0.91	0.98
	NDH14	516	301	3.76	0.83	0.99
	NGH08	711	380	3.54	0.79	0.98
	NHL01	331	157	0.52	0.08	0.99
	NHS07	1487	1069	6.61	0.95	0.97
	NJL15	1576	1212	7.13	0.96	0.97
	NMH11	867	560	4.47	0.88	0.98
	NMR09	1288	985	7.00	0.96	0.97
	NOS10	534	360	3.47	0.77	0.99
	NPR12	991	580	4.22	0.78	0.98
	NSR03	1369	1174	7.88	0.97	0.98
	NVL06	990	617	5.57	0.94	0.98
	NZM05	706	480	3.40	0.73	0.98

شاخص‌های Chao1، observed\_species و Shannon در شکل-۱ آورده شده است. بر اساس شاخص تنوع observed species در مورد تعدادی از نمونه‌ها عمق توالی یابی کافی بوده و نمودارها به plateau نزدیک شده‌اند ولی در مورد بسیاری از نمونه‌ها برای رسیدن به حد نهایت تنوع گونه‌های میکروبی نیاز به تعداد توالی بیشتری است.

**شاخص‌های تنوع بتا (تنوع بین نمونه‌ای):** برای بررسی ترکیب و ساختار گونه‌های میکروبی بین گروه‌های تیماری مختلف از شاخص‌های تنوع بتا استفاده می‌شود. برای این منظور از شاخص‌های تنوع غیر فیلوزنیک Bray\_curtis و weighted Jensen shannon و یا شاخص‌های فیلوزنیکی مانند unifrac و unweighted Jensen shannon استفاده می‌شود. نتایج حاصل از آنالیز تنوع بین نمونه‌ای با استفاده از شاخص‌های Bray\_curtis unweighted و weighted unifrac Jensen shannon unifrac در شکل-۲ به صورت پلات‌های PCoA آمده است.

از طرف دیگر شاخص تنوع Goods\_coverage بین گروه مصدومین و افراد سالم معنی دار می‌باشد ( $p < 0.0008$ ) و میانگین آن در گروه کنترل ۰/۹۷۹ و در گروه مصدومین ۰/۹۷۱ است که نشان می‌دهد عمق توالی یابی انجام شده برای بررسی تنوع میکروبی موجود در نمونه‌های مصدوم شیمیایی و افراد سالم کفایت می‌کند، البته در قیاس با افراد سالم برای شناسایی میکروب‌های موجود در ریه افراد مصدوم شیمیایی به تعداد توالی بیشتری نیاز است.

**منحنی Rarefaction:** منحنی‌های Rarefaction با نمونه گیری‌های تصادفی بدون جایگزینی، کفایت عمق توالی یابی برای بررسی تنوع جامعه میکروبی در یک محیط اکولوژیکی خاص را بر اساس شاخص‌های تنوع مختلف نشان می‌دهند. در این منحنی‌ها هر چه انتهای نمودار به سطح افقی (plateau) نزدیک شده باشد نشان دهنده کفایت عمق توالی یابی برای بررسی تنوع میکروبی rarefaction بواسطه آن شاخص تنوع می‌باشد. منحنی



شکل-۱. منحنی‌های rarefaction

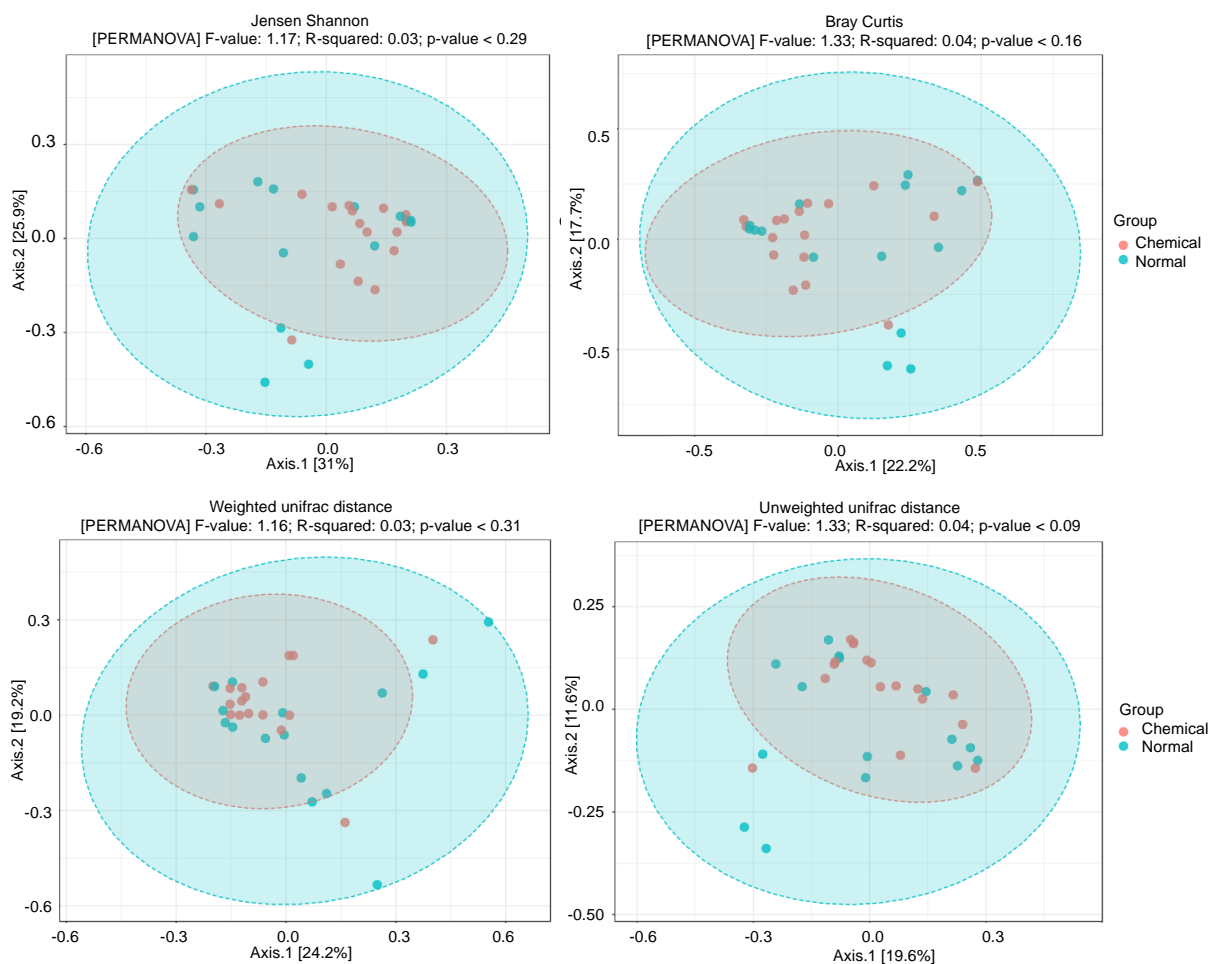
بررسی تناسب عمق خواشن توالی‌های هر یک از نمونه‌ها با میزان تنوع میکروبیوم ریه در مصدومین شیمیایی و افراد گروه کنترل (نرمال). این منحنی‌ها با نمونه برداری تصادفی بدون جایگزینی برآورده از میزان تنوع میکروبی بر اساس شاخص‌های تنوع Chao1، Observed\_species، Shannon و Goods\_coverage (محور Y) را به عنوان تابعی از تعداد توالی‌های نمونه برداری شده (محور X) را نشان می‌دهند.

حضور نشان می‌دهند.

**ترکیب میکروبیوم ریه در مصدومین شیمیایی و افراد سالم:** بررسی ترکیب میکروبیوم ریه در گروه مصدومین شیمیایی و افراد سالم نشان داد که جمعیت غالب میکروبیوم ریه را گونه‌های M. morganii، Bacteroidetes، Firmicutes، Fusobacteria، Actinobacteria، Proteobacteria و Synergistetes تشکیل می‌دهند. این شاخه‌ها در مجموع چیزی حدود ۹۵ درصد از کل میکروبیوم ریه را به خود اختصاص می‌دهند. در گروه مصدومین شیمیایی گونه‌های متعلق به شاخه‌های Proteobacteria و Bacteroidetes، Firmicutes درصد ۳۲ درصد، ۲۷ درصد و ۲۱ درصد فراوانترین گروه باکتری‌ها بودند. در صورتی که گروه کنترل بعد از Firmicutes با ۳۰ درصد Proteobacteria با ۲۷ درصد و Bacteroidetes با ۱۷ درصد فراوان ترین باکتری‌های موجود در ریه بودند (شکل-۳). تفاوت‌های دیده شده در هیچ یک از شاخه‌های باکتریایی بین گروه مصدومین شیمیایی و افراد سالم از نظر آماری (آزمون آماری t-test) معنی دار نیست ( $p > 0.05$ ) که ممکن است به واسطه واریانس بالای فراوانی آنها در افراد تشکیل دهنده هر گروه باشد.

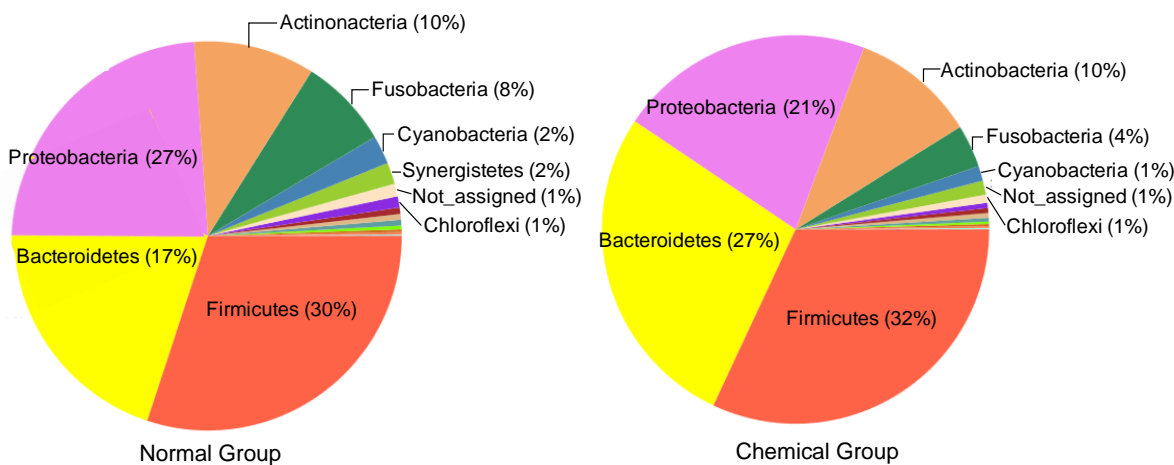
همان طور که از شکل‌ها مشخص است ساختار جامعه میکروبی ساکن ریه مصدومین شیمیایی تا حدودی متمایز از جامعه میکروبی ساکن در ریه افراد سالم است. با این حال با توجه به همپوشانی زیاد بین گروه کنترل و گروه مصدومین شیمیایی دو گروه از هم تفکیک نشده‌اند ( $p > 0.05$ ). ANOSIM بر اساس شاخص تنوع فیلوزنوتیکی weighted unifrac که علاوه بر فراوانی نسبی تاکساها قربات خویشاوندی آنها را نیز در نظر می‌گیرد، اختلاف ساختار میکروبیوم بین افراد مختلف گروه مصدومین شیمیایی حداقل ممکن است.

این نتیجه نشان می‌دهد میکروب‌های موجود در ریه مصدومین شیمیایی چه به لحاظ فراوانی و چه از نظر فاصله تکاملی و ژنتیکی شباهت زیادی نشان می‌دهند که حکایت از کلونیزه شدن یک جامعه میکروبی منحصر به فرد در ریه این افراد دارد. بر مبنای شاخص weighted unifrac که تنها وجود و عدم وجود تاکساها و قربات خویشاوندی آنها را در محاسبه فاصله بین جوامع میکروبی لحاظ می‌کند، تفاوت بین افراد مصدوم شیمیایی بیشتر نمایان شده است که نشان می‌دهد تفاوت در میکروبیوم ریه این افراد بیشتر به واسطه تاکساهاستی است که الگوی حضور و عدم



شکل-۲. تنوع بین نمونه‌ای (تنوع بتا) میکروبیوم مصدومین شیمیایی و افراد گروه کنترل (نرمال)

تنوع بتا به بوسیله شاخص‌های تنوع Bray curtis، Jensen Shannon، Weighted unifrac و Unweighted unifrac بررسی شد. ماتریس عدم تشابه بدست آمده بوسیله پلات‌های PCoA (Principle COordinate Analysis) به نمایش درآمده است.



شکل-۳. فراوانی میکروبیوم ریه در سطح تاکسونومی شاخه در گروه مصدومین شیمیایی و افراد گروه کنترل (نرمال)

فراوانی نسبی تاکساها بر اساس OTUs های دیده شده با فراوانی بیشتر از ۱٪ درصد در کل نمونه‌ها محاسبه شده است. تفاوت در فراوانی تاکساها میان مختلف بوسیله آزمون آماری t-test برآورد شده و در متن توصیف شده است.

*Pasteurellaceae* *Fusobacteriaceae* *Neisseriaceae*  
*Campylobacteraceae* *Paraprevotellaceae*  
*Hypomicrobiaceae* *Moraxellaceae*  
 و ۷۸ درصد از کل میکروبیوم ریه در مصدومین شیمیایی و افراد

بررسی ترکیب میکروبیوم در سطح خانواده حکایت از فراوانی  
 غالباً گونه‌های متعلق به خانواده‌های  
*Prevotellaceae* *Micrococcaceae* *Veillonellaceae* *Streptococcaceae*  
*Rickettsiaceae* *Porphyromonadaceae*

مصدومین ۵/۲ درصد و در گروه کنترل ۴/۵ درصد، *P. melaninogenica* در مصدومین ۱۳/۲ درصد و در گروه کنترل ۴/۸۶ درصد و *R. mucilaginosa* در مصدومین ۳/۳۲ درصد و در گروه کنترل ۱/۱ درصد از توالی‌ها را بخود اختصاص می‌دهند. مقایسه سطح فراوانی گونه‌های شناسایی شده در گروه مصدومین *Shimmiyaii* در مقایسه با گروه کنترل حکایت از افزایش ۳ برابری *R. mucilaginosa* برابری *Actinobacillus Prevotella pallens* ۲/۶۷ برابری *Veillonella parvula* ۲/۴ برابری *parahaemolyticus* ۱۱/۶ برابری *Aggregatibacter segnis* و ۱/۵ برابری *Neisseria subflava* گونه‌هایی مانند *R. aeria* ۵/۵ برابری *Asticcacaulis biprosthecium* ۳/۸۴ (۲/۴۳ برابری)، *R. dentocariosa* ۵/۵ برابری *Selenomonas noxia* ۱۴/۷ (۲/۴ برابری) در گروه کنترل با فراوانی بیشتری در مقایسه با گروه مصدومین *Shimmiyaii* دارد. از سوی دیگر *Wolbachia Wolbachia* در مجموع حدود ۴۶۰ جنس باکتریایی در ریه مصدومین *Shimmiyaii* و افراد سالم شناسایی شد که از این تعداد گونه‌های متعلق به ۹ جنس در گروه مصدومین *Shimmiyaii* در مقایسه با افراد کنترل اختلاف فراوانی معنی دار نشان می‌دهند ( $p < 0.05$ ). این جنس‌ها به ترتیب فراوانی شامل *Prevotella Leptotrichia Catonella Aggregatibacter Atopobium unclassified Leptotrichiaceae Oribacterium unclassified Pirellulaceae Shimmiyaii* در مقایسه با گروه کنترل، گونه‌های مربوط به جنس‌های *Atopobium Leptotrichia Prevotella Oribacterium Catonella Aggregatibacter unclassified Chloroflexi unclassified Pirellulaceae* ترتیب ۱۲/۴ و ۱۴/۷ برابر در گروه مصدومین در مقایسه با گروه کنترل کاهش فراوانی نشان می‌دهند ( $p < 0.05$ ).

## بحث

نتایج توالی یابی ژن مارکر *rRNA 16S* نشان داد که جمعیت میکروب‌های کلونیزه شده در ریه مصدومین *Shimmiyaii* متمایز از جمعیت میکروبی است که به طور طبیعی در ریه دیده می‌شوند. بررسی شاخص‌های تنوع میکروبی نیز تقاضات‌هایی بین جمعیت میکروب‌های موجود در ریه مصدومین *Shimmiyaii* در مقایسه با افراد سالم نشان می‌دهد. به طوری که شاخص Chao1 که براورده از میزان غنای میکروبی است به طور معنی‌داری در گروه مصدومین *Shimmiyaii* در مقایسه با افراد سالم افزایش نشان می‌دهد. بر اساس شاخص‌های تنوع بنا نیز جمعیت میکروبی موجود در ریه مصدومین *Shimmiyaii* چه از نظر فراوانی نسبی و چه از نظر قرابت خویشاوندی متمایز از میکروب‌های موجود در فلور طبیعی ریه هستند. در بیماری‌های دیگری مانند سیستیک فیروزیز کاهش تنوع میکروبی در بخش‌های تحتانی ریه با افزایش سن و کاهش عملکرد ریه ارتباط نشان می‌دهد (۲۳). اما مطالعه میکروبیوم راههای هوایی ریه در افراد بالغ و بچه‌های مبتلا به آسم حکایت از تشابه میکروبیوم در بین افراد سالم و بیمار دارد (۵).

بیشتر میکروب‌هایی که در ریه مصدومین *Shimmiyaii* دیده می‌شوند به طور طبیعی جزئی از فلور میکروبی ریه محسوب می‌شوند اما تغییر در فراوانی آنها در بسیاری از موارد توأم با مشکلاتی مانند التهاب می‌شود. نقش میکروبیوم ریه به عنوان واسطه‌های التهابی اخیراً مشخص شده است (۲۴)، به طوری که در حضور برخی از میکروب‌های پنوموکوک التهاب آلوئولارها اتفاق می‌افتد (۱۴,۲۴). پژوهش‌های پیشین نقش میکروبیوم ریه در سلامت انسان را در بیماری‌های مزمن ریوی از قبیل آسم، سیستیک فیروزیز و COPD تایید نموده‌اند (۱۰-۸). این که به چه میزان

نرمال را به خود اختصاص می‌دهند. در بین خانواده‌های باکتریایی غالباً، تنها فراوانی خانواده *Prevotellaceae* که در گروه مصدومین *Shimmiyaii* حدود ۲/۵ برابر بیشتر از گروه کنترل است (۱۸/۵ درصد در برابر ۷/۳ درصد) از نظر آماری اختلاف معنی دار دیده شد ( $p = 0.004$ ) که دلالت بر اهمیت و ارتباط آنها با وضعیت سلامت بیماران دارد. از دیگر خانواده‌های باکتریایی که اختلاف فراوانی آنها در گروه مصدومین *Shimmiyaii* در مقایسه با افراد سالم از نظر آماری معنی دار است ( $p < 0.05$ ) می‌توان به خانواده‌های *Coriobacteriaceae Lachnospiraceae Thermomonosporaceae Leptotrichiaceae Coriobacteriaceae Lachnospiraceae* و *Leptotrichiaceae* در محدوده حدود ۱۵ در صورتی که در گروه مصدومین *Shimmiyaii* دارند (۰/۰۷ درصد در برابر ۰/۰۰۰۴).

در مجموع حدود ۴۶۰ جنس باکتریایی در ریه مصدومین *Shimmiyaii* و افراد سالم شناسایی شد که از این تعداد گونه‌های متعلق به ۹ جنس در گروه مصدومین *Shimmiyaii* در مقایسه با افراد کنترل اختلاف فراوانی معنی دار نشان می‌دهند ( $p < 0.05$ ). این جنس‌ها به ترتیب فراوانی شامل *Prevotella Leptotrichia Catonella Aggregatibacter Atopobium unclassified Leptotrichiaceae Oribacterium unclassified Pirellulaceae Shimmiyaii* در مقایسه با گروه کنترل، گونه‌های مربوط به جنس‌های *Atopobium Leptotrichia Prevotella Oribacterium Catonella Aggregatibacter unclassified Chloroflexi unclassified Pirellulaceae* ترتیب ۱۲/۴ و ۱۴/۷ برابر در گروه مصدومین در مقایسه با گروه کنترل کاهش فراوانی نشان می‌دهند ( $p < 0.05$ ). از بین OTUs ۳۴۶۱ دیده شده در عمق خواش ۱۱۸۹۰ تنها ۶۲۶ OTUs در سطح تاکسونومی گونه (species) شناسایی شدند. این OTUs در مجموع به ۶۵ گونه شاخته شده باکتریایی نسبت داده شدند. بقیه OTU ها یا به هیچ شاخه تاکسونومیکی نسبت داده نشدنند (unassigned) و یا حداکثر تا سطح جنس شناسایی شدند. از بین گونه‌های شناسایی شده، *Prevotella Neisseria Veillonella dispar melaninogenica Rothia Porphyromonas endodontalis cinerea Haemophilus parainfluenzae mucilaginosa Pyramydobacter piscolens Prevotella tannerae Rothia dentocariosa Prevotella nanceiensis Prevotella aeria* با فراوانی بالایی در میکروبیوم ریه دیده شدند. برای مثال *V. dispar* در گروه مصدومین ۹/۳ درصد و در گروه کنترل ۲/۴ درصد، *N. cinerea* در مصدومین *Shimmiyaii* به طور متوسط ۹/۶ درصد و در گروه کنترل ۲/۷ درصد، *P. endodontalis* در

دارد. ارتباط بین حضور گونه‌های مربوط به این جنس و افزایش خطر ابتلا به آسم در کودکان مشخص شده است (۲۷). حضور این گونه‌های بیماری زا ممکن است منجر به افزایش التهاب راههای هوایی شود (۵)، که در واقع یکی از مشکلات ریوی بارز در مصدومین شیمیایی است. در بیماران COPD افزایش فراوانی *Acinetobacter*, *Moraxella*, *Haemophilus* و *V. parvula* در گروه ۷، ۲۸٪ افزایش ۲/۴ برابری با افراد سالم ارتباط این میکروبها با وضعیت بیماری مصدومین شیمیایی را نشان می‌دهد. در مطالعات قبلی نیز افزایش فراوانی گونه‌های *Veillonella* در میکروبیوم افراد سیگاری و بیماران با فیبروز ریوی آیدیوباتیک مشخص شده است (۱۱، ۲۹). با وجود اینکه افزایش جمعیت آنها توانم با مارکرهای التهابی در ریه است اما ارتباط آنها با التهاب راههای هوایی هنوز به طور کامل مشخص نشده است (۱۴). میکروفلور طبیعی موجود در حلق، رودهها و ریه شناخته می‌شوند و به طور گستردگی در عفونت‌های دستگاه تنفسی نیز دیده می‌شوند (۳۰).

بررسی‌های انجام گرفته بر روی افراد مبتلا به COPD و آسم که تظاهرات بالینی مشابهی با مصدومین شیمیایی نشان می‌دهند حکایت از تغییرات قابل توجه در سطح میکروبیوم ریه دارد که از اصلی ترین آنها می‌توان به کاهش فراوانی نسبی جنس *Bacteroidetes*, متعلق به شاخه *Prevotella* سالم اشاره نمود (۷).

در این مطالعه اما در گروه مصدومین شیمیایی افزایش فراوانی *Prevotella* دیده شد که بیانگر ارتباط آنها با نارسایی‌های ریوی در این گروه از بیماران است. با توجه به این نتایج می‌توان گفت که افزایش و یا کاهش نسبی *Prevotella* از یک سطح مشخص می‌تواند با تغییراتی در شرایط بالینی و مشخصاً کیفیت تنفسی بیماران در ارتباط باشد. *Prevotella* ها باکتری‌های گرم منفی هستند که به عنوان بخشی از میکروفلور طب جمعیت این باکتری‌ها در ریه بیماران مبتلا به سیستیک فیبروز نیز افزایش قابل توجهی نشان می‌دهد (۳۱). در افراد مبتلا به التهاب ریه افزایش فراوانی *Prevotella* ها در راههای هوایی تحتانی توان با افزایش مارکرهای التهابی است (۱۴).

این یافته با توجه به اینکه این گونه‌های باکتری‌ای جزء باکتری‌های دستگاه گوارش و دهان محسوب می‌شوند و میکروب‌های سیستم گوارش اغلب باعث ایجاد التهاب در دستگاه تنفسی می‌شوند قابل توجیه است (۱۴).

## نتیجه‌گیری

مطالعه حاضر نشان داد که میکروبیوم ریه در مصدومین شیمیایی در مقایسه با افراد سالم تفاوت زیادی نشان می‌دهد. افزایش فراوانی باکتری‌های متعلق به جنس‌های *Veillonella*, *Prevotella* و *Neisseria* در ریه مصدومین شیمیایی و ارتباط آنها

میکروب‌های کلوبنیزه شده در ریه مصدومین شیمیایی در مشکلات ریوی آنها نقش دارند اطلاعاتی در دسترس نیست. آنچه مسلم است این است که میکروبیوم ریه نقش کلیدی در سلامت انسان ایفا می‌کند و بنابراین انتظار می‌رود با وجود نارسایی‌های گستردگی در ریه مصدومین شیمیایی نقش جمعیت میکروب‌های همزیست در ریه این افراد با وضعیت بیماری آنها بی ارتباط نباشد. بنابراین در مطالعه حاضر با بررسی جمعیت باکتری‌ای ساکن در ریه مصدومین شیمیایی از طریق روش‌های متاثرnomik به ماهیت و ترکیب میکروبیوم موجود در ریه آنها دسترسی پیدا کردیم و در نهایت با مقایسه فراوانی میکروبیوم در این گروه از بیماران با افراد سالم شواهدی مبنی بر تغییرات میکروبیوم و ارتباط آن با وضعیت بیماری مصدومین شیمیایی مشاهده شد.

گونه‌های غالب دیده شده در میکروبیوم ریه مصدومین شیمیایی و افراد سالم مربوط به شاخه‌های *Firmicutes*, *Proteobacteria* و *Bacteroidetes* بودند که در مجموع بخش قابل توجهی از جمعیت میکروبیوم ساکن ریه را به خود اختصاص می‌دهند. این یافته با مشاهدات قبلی نیز در انتبطاق است (۱۳، ۲۵). با وجود اینکه شاخه *Bacteroidetes* با فراوانی بسیار بیشتری در نمونه‌های مصدومین شیمیایی دیده شد، اما این تفاوت‌ها از نظر آماری معنی دار نیست که نشان از واریانس بالای تغییرات در افراد گروه کنترل و بیماران دارد. از طرف دیگر *Proteobacteria* در گروه مصدومین شیمیایی در مقایسه با گروه کنترل فراوانی کمتری دارند (۲۱٪ در برابر ۲۷٪).

جامعه میکروبی ساکن ریه مصدومین شیمیایی را میکروب‌هایی از گروه باکتری‌هایی که به طور غالب در جمعیت میکروبی ریه افراد سالم و افراد با بیماری‌های ریوی مانند آسم و COPD دیده می‌شوند تشکیل می‌دهند. از جمله می‌توان به گونه‌های مربوط به جنس‌های *Haemophilus*, *Prevotella*, *Veillonella*, *Rothia* و *Porphyromonas* اشاره کرد. باکتری‌های متعلق به شاخه *Proteobacteria* شامل جنس‌های *Moraxella* و *Haemophilus* در میکروبیوم ریه بیماران مبتلا به COPD و آسم به وفور دیده می‌شوند (۵).

یافته‌های بدست آمده از مطالعه میکروبیوم ریه در بیماران COPD حکایت از تشابه میکروبیوم در افراد بیمار و سالم دارد با این تفاوت که گونه‌های متعلق به *Proteobacteria* با فراوانی بیشتر در میکروبیوم ریه بیماران COPD دیده می‌شوند (۷). ارتباط بین افزایش جمعیت *Proteobacteria* و آسم در کودکان نیز به خوبی نشان داده شده است (۵). افزایش فراوانی COPD ها قبلاً در بیماران *Firmicutes* دیده شده است که بیشتر *Lactobacillus* بواسطه افزایش فراوانی گونه‌های متعلق به جنس *Neisseria* می‌باشد (۸، ۲۶).

افزایش فراوانی گونه‌های *Neisseria* در گروه مصدومین شیمیایی حکایت از نقش آنها در مشکلات ریوی این گروه از بیماران

### نکات بالینی کاربردی برای جوامع نظامی

- کنترل جمعیت میکروب‌هایی که فراوانی آنها با التهاب راههای هوای ریه ارتباط نشان می‌دهد می‌تواند در جهت کاهش نارسایی‌های ریوی در مصدومین شیمیایی موثر واقع شود.
- استفاده گسترده از آنتی بیوتیک‌های وسیع الطیف می‌تواند منجر به از بین رفتن تعادل بین جمعیت میکرووارگانیسم‌های مفید و پاتوژن‌های بیماری‌زا در ریه شود.

**تشکر و قدردانی:** این مطالعه بخشی از رساله کارشناسی ارشد آقای مهیار شریف باقری است که در قالب طرح پژوهشی با کد ۹۱۰۰۲۱۱۹ در سال ۱۳۹۵ در مرکز تحقیقات تئیک انسانی به تصویب رسیده است. لازم است از پرسنل و همکاران بخشنامه برونوکسکوبی بیمارستان بقیه الله(عج) که امکان نمونه برداری را فراهم کردند تشکر و قدردانی کنیم.

**نقش نویسندها:** ارائه ایده و طرح اولیه : قره چاهی، جمع‌آوری داده‌ها: شریف باقری و قزوینی، تکمیل پرسشنامه‌ها: شریف باقری، معاینه بیمار: قزوینی، تحلیل و تفسیر داده‌ها: شریف باقری، قره چاهی و تولایی. همه نویسندها در نگارش اولیه مقاله یا بازنگری آن سهیم بودند و همه با تایید نهایی مقاله حاضر، مسئولیت دقت و صحت مطالعه مندرج در آن را می‌پذیرند.

### منابع:

1. Ghanei M, Harandi AA. Molecular and cellular mechanism of lung injuries due to exposure to sulfur mustard: a review. *Inhal Toxicol.* 2011;23(7):363-71. doi:[10.3109/08958378.2011.576278](https://doi.org/10.3109/08958378.2011.576278)
2. Ghanei M, Harandi AA. Long term consequences from exposure to sulfur mustard: a review. *Inhal Toxicol.* 2007;19(5):451-6. doi:[10.1080/08958370601174990](https://doi.org/10.1080/08958370601174990)
3. Ghanei M, Fathi H, Mohammad MM, Aslani J, Nematizadeh F. Long-term respiratory disorders of claimers with subclinical exposure to chemical warfare agents. *Inhal Toxicol.* 2004;16(8):491-5. doi:[10.1080/08958370490442421](https://doi.org/10.1080/08958370490442421)
4. Ghanei M, Mokhtari M, Mohammad MM, Aslani J. Bronchiolitis obliterans following exposure to sulfur mustard: chest high resolution computed tomography. *Eur J Radiol.* 2004;52(2):164-9. doi:[10.1016/j.ejrad.2004.03.018](https://doi.org/10.1016/j.ejrad.2004.03.018)
5. Hilty M, Burke C, Pedro H, Cardenas P, Bush A, Bossley C, et al. Disordered microbial communities in asthmatic airways. *PLoS One.* 2010;5(1):e8578. doi:[10.1371/journal.pone.0008578](https://doi.org/10.1371/journal.pone.0008578)
6. Charlson ES, Bittinger K, Haas AR, Fitzgerald AS, Frank I, Yadav A, et al. Topographical continuity of bacterial populations in the healthy human respiratory tract. *Am J Respir Crit Care Med.* 2011;184(8):957-63. doi:[10.1164/rccm.201104-0655OC](https://doi.org/10.1164/rccm.201104-0655OC)
7. Cabrera-Rubio R, Garcia-Nunez M, Seto L, Anto JM, Moya A, Monso E, et al. Microbiome diversity in the bronchial tracts of patients with chronic

با التهاب راههای هوایی نشان دهنده نقش موثر آنها در مشکلات ریوی مصدومین شیمیایی است.

با انجام مطالعات بیشتر بر روی میکروبیوم دستگاه تنفسی این افراد می‌توان الگوی دقیق تری از جمعیت باکتریایی کلونیزه شده در ریه آنها ترسیم کرد و با بررسی تفاوت‌های میکروبیوم ریه آنها با افراد سالم ارتباط موثری بین تغییرات دیده شده با شرایط بالینی بیماران ایجاد کرد.

این یافته‌ها می‌توانند در زمینه پروپوتوکیک درمانی و یا اتخاذ روش‌های درمانی دقیق تر و آگاهانه ترا راه گشا باشند. اما این نکته را نیز نباید نادیده گرفت که عمل نمونه‌گیری به روش برونوکسکوبی یک عمل سیار دشوار است و نمی‌توان به سهولت بیمار را متقادع به انجام آن کرد و این مسئله اصلی ترین مشکل سد راه اینگونه مطالعات می‌باشد. مطالعه میکروبیوم موجود در نمونه خلط و یا ترشحات حلقی را می‌توان به عنوان روش جایگزین پیشنهاد کرد.

**تضاد منافع:** نویسندها تصویری می‌کنند که هیچ گونه تضاد منافعی در مطالعه حاضر وجود ندارد.

- obstructive pulmonary disease. *J Clin Microbiol.* 2012;50(11):3562-8. doi:[10.1128/JCM.00767-12](https://doi.org/10.1128/JCM.00767-12)
8. Kim HJ, Kim YS, Kim KH, Choi JP, Kim YK, Yun S, et al. The microbiome of the lung and its extracellular vesicles in nonsmokers, healthy smokers and COPD patients. *Exp Mol Med.* 2017;49(4):e316. doi:[10.1038/emm.2017.7](https://doi.org/10.1038/emm.2017.7)
9. Frayman KB, Armstrong DS, Carzino R, Ferkol TW, Grimwood K, Storch GA, et al. The lower airway microbiota in early cystic fibrosis lung disease: a longitudinal analysis. *Thorax.* 2017;72(12):1104-12. doi:[10.1136/thoraxjnls-2016-209279](https://doi.org/10.1136/thoraxjnls-2016-209279)
10. Chung KF. Airway microbial dysbiosis in asthmatic patients: A target for prevention and treatment? *J Allergy Clin Immunol.* 2017;139(4):1071-81. doi:[10.1016/j.jaci.2017.02.004](https://doi.org/10.1016/j.jaci.2017.02.004)
11. Molyneaux PL, Cox MJ, Wells AU, Kim HC, Ji W, Cookson WO, et al. Changes in the respiratory microbiome during acute exacerbations of idiopathic pulmonary fibrosis. *Respir Res.* 2017;18(1):29. doi:[10.1186/s12931-017-0511-3](https://doi.org/10.1186/s12931-017-0511-3)
12. Scher JU, Joshua V, Artacho A, Abdollahi-Roodsaz S, Ockinger J, Kullberg S, et al. The lung microbiota in early rheumatoid arthritis and autoimmunity. *Microbiome.* 2016;4(1):60. doi:[10.1186/s40168-016-0206-x](https://doi.org/10.1186/s40168-016-0206-x)
13. Dickson RP, Huffnagle GB. The Lung Microbiome: New Principles for Respiratory Bacteriology in Health and Disease. *PLoS Pathog.* 2015;11(7):e1004923. doi:[10.1371/journal.ppat.1004923](https://doi.org/10.1371/journal.ppat.1004923)

14. Segal LN, Alekseyenko AV, Clemente JC, Kulkarni R, Wu B, Chen H, et al. Enrichment of lung microbiome with supraglottic taxa is associated with increased pulmonary inflammation. *Microbiome*. 2013;1(1):19. [doi:10.1186/2049-2618-1-19](https://doi.org/10.1186/2049-2618-1-19)
15. Byun MK, Chang J, Kim HJ, Jeong SH. Differences of lung microbiome in patients with clinically stable and exacerbated bronchiectasis. *PLoS One*. 2017;12(8):e0183553. [doi:10.1371/journal.pone.0183553](https://doi.org/10.1371/journal.pone.0183553)
16. Zemanick ET, Sagel SD, Harris JK. The airway microbiome in cystic fibrosis and implications for treatment. *Curr Opin Pediatr*. 2011;23(3):319-24. [doi:10.1097/MOP.0b013e32834604f2](https://doi.org/10.1097/MOP.0b013e32834604f2)
17. Beck JM, Young VB, Huffnagle GB. The microbiome of the lung. *Transl Res*. 2012;160(4):258-66. [doi:10.1016/j.trsl.2012.02.005](https://doi.org/10.1016/j.trsl.2012.02.005)
18. Hang J, Zavaljevski N, Yang Y, Desai V, Ruck RC, Macareo LR, et al. Composition and variation of respiratory microbiota in healthy military personnel. *PLoS One*. 2017;12(12):e0188461. [doi:10.1371/journal.pone.0188461](https://doi.org/10.1371/journal.pone.0188461)
19. Magoc T, Salzberg SL. FLASH: fast length adjustment of short reads to improve genome assemblies. *Bioinformatics*. 2011;27(21):2957-63. [doi:10.1093/bioinformatics/btr507](https://doi.org/10.1093/bioinformatics/btr507)
20. Caporaso JG, Kuczynski J, Stombaugh J, Bittinger K, Bushman FD, Costello EK, et al. QIIME allows analysis of high-throughput community sequencing data. *Nat Methods*. 2010;7(5):335-6. [doi:10.1038/nmeth.f.303](https://doi.org/10.1038/nmeth.f.303)
21. Rognes T, Flouri T, Nichols B, Quince C, Mahe F. VSEARCH: a versatile open source tool for metagenomics. *Peer J*. 2016;4:e2584. [doi:10.7717/peerj.2584](https://doi.org/10.7717/peerj.2584)
22. Gharechahi J, Kharazian ZA, Sarikhan S, Jouzani GS, Aghdasi M, Hosseini Salekdeh G. The dynamics of the bacterial communities developed in maize silage. *Microb Biotechnol*. 2017;10(6):1663-76. [doi:10.1111/1751-7915.12751](https://doi.org/10.1111/1751-7915.12751)
23. Cox MJ, Allgaier M, Taylor B, Baek MS, Huang YJ, Daly RA, et al. Airway microbiota and pathogen abundance in age-stratified cystic fibrosis patients. *PLoS One*. 2010;5(6):e11044. [doi:10.1371/journal.pone.0011044](https://doi.org/10.1371/journal.pone.0011044)
24. Segal LN, Clemente JC, Tsay JC, Koralov SB, Keller BC, Wu BG, et al. Enrichment of the lung microbiome with oral taxa is associated with lung inflammation of a Th17 phenotype. *Nat Microbiol*. 2016;1:16031. [doi:10.1038/nmicrobiol.2016.31](https://doi.org/10.1038/nmicrobiol.2016.31)
25. Wang J, Li F, Tian Z. Role of microbiota on lung homeostasis and diseases. *Sci China Life Sci*. 2017;60 (12):1407-15. [doi:10.1007/s11427-017-9151-1](https://doi.org/10.1007/s11427-017-9151-1)
26. Sze MA, Dimitriu PA, Hayashi S, Elliott WM, McDonough JE, Gosselink JV, et al. The lung tissue microbiome in chronic obstructive pulmonary disease. *Am J Respir Crit Care Med*. 2012;185 (10):1073-80. [doi:10.1164/rccm.201111-2075OC](https://doi.org/10.1164/rccm.201111-2075OC)
27. Bisgaard H, Hermansen MN, Buchvald F, Loland L, Halkjaer LB, Bonnelykke K, et al. Childhood asthma after bacterial colonization of the airway in neonates. *N Engl J Med*. 2007;357(15):1487-95. [doi:10.1056/NEJMoa052632](https://doi.org/10.1056/NEJMoa052632)
28. Erb-Downward JR, Thompson DL, Han MK, Freeman CM, McCloskey L, Schmidt LA, et al. Analysis of the lung microbiome in the "healthy" smoker and in COPD. *PLoS One*. 2011;6(2):e16384. [doi:10.1371/journal.pone.0016384](https://doi.org/10.1371/journal.pone.0016384)
29. Morris A, Beck JM, Schloss PD, Campbell TB, Crothers K, Curtis JL, et al. Comparison of the respiratory microbiome in healthy nonsmokers and smokers. *Am J Respir Crit Care Med*. 2013;187 (10):1067-75. [doi:10.1164/rccm.201210-1913OC](https://doi.org/10.1164/rccm.201210-1913OC)
30. Aas JA, Paster BJ, Stokes LN, Olsen I, Dewhirst FE. Defining the normal bacterial flora of the oral cavity. *J Clin Microbiol*. 2005;43(11):5721-32. [doi:10.1128/JCM.43.11.5721-5732.2005](https://doi.org/10.1128/JCM.43.11.5721-5732.2005)
31. Tunney MM, Field TR, Moriarty TF, Patrick S, Doering G, Muhlebach MS, et al. Detection of anaerobic bacteria in high numbers in sputum from patients with cystic fibrosis. *Am J Respir Crit Care Med*. 2008;177(9):995-1001. [doi:10.1164/rccm.200708-1151OC](https://doi.org/10.1164/rccm.200708-1151OC)